

размером, установить порядок времени, необходимого для развития ячеек, построить форму двумерных ячеек и обнаружить увеличение скорости перемещения ячеистого фронта пламени в сравнении с плоским. Уточнение расчетов такого рода должно идти по пути учета гидродинамических возмущений, вызываемых неоднородным распределением температуры на искривленном фронте.

Работа выполнена по предложению и под руководством академика С. С. Кутателадзе. Авторы выражают ему глубокую благодарность.

*Поступила в редакцию 15/VII 1982,  
после доработки — 21/X 1983*

#### ЛИТЕРАТУРА

1. Г. Маркштейн. ВРТ, 1951, 4.
2. Нестационарное распространение пламени/Под ред. Г. Маркштейна. М.: Мир, 1968.
3. Л. Д. Ландау. ЖЭТФ, 1944, 14, 6, 240.
4. Л. Д. Ландау, Е. М. Лифшиц. Механика сплошных сред. М.: Гостехтеориздат, 1953.
5. Я. Б. Зельдович и др. Математическая теория горения и взрыва. М.: Наука, 1980.
6. А. Г. Истратов, В. Б. Либрович. ПМТФ, 1966, 1, 67.
7. Я. Б. Зельдович. Теория горения и детонации газов. М.—Л.: Изд-во АН СССР, 1944.
8. Г. И. Баренблatt, Я. Б. Зельдович, А. Г. Истратов. ПМТФ, 1962, 4, 21.
9. А. Г. Истратов, В. Б. Либрович. Устойчивость пламен (обзор). М.: ВИНИТИ, 1966.
10. И. Б. Варгафтик. Справочник по теплофизическим свойствам газов и жидкостей. М.: Физматгиз, 1963.
11. В. Экхаус. ВРТ, 1961, 41, 16.
12. А. И. Тихонов, А. А. Самарский. Уравнения математической физики. М.: Наука, 1966.
13. Ф. Бартльме. Газодинамика горения. М.: Энергия, 1981.
14. Л. А. Гуссак, Е. Н. Спринцина, К. И. Щелкин. ФГВ, 1968, 4, 3, 358.
15. Х. А. Ракипова, Я. К. Трошин, К. И. Щелкин. ЖТФ, 1947, 17, 12, 1397.
16. В. М. Мальцев, М. И. Мальцев, Л. Я. Кащоров. Основные характеристики горения. М.: Химия, 1977.
17. А. П. Алдушин, С. Г. Каспарян. Докл. АН СССР, 1979, 244, 1, 67.
18. А. П. Алдушин, С. Г. Каспарян, К. Г. Шкадинский. Докл. АН СССР, 1979, 247, 5, 1112.

#### ИОНИЗАЦИЯ В ДИФФУЗИОННЫХ ПАРОФАЗНЫХ ПЛАМЕНАХ МАГНИЯ ПРИ ПОНИЖЕННЫХ ДАВЛЕНИЯХ

*Ю. Ф. Банников, В. И. Струнин, В. В. Тихомиров  
(Омск)*

В большинстве работ, посвященных пламенам щелочно-земельных металлов, исследуются теплофизические, газодинамические, спектральные закономерности горения [1—3]. Определены кинетические коэффициенты реакций окисления металлов атомарным и молекулярным кислородом [4, 5]. Однако электрофизические характеристики пламен щелочно-земельных металлов изучены слабо. Косвенным образом указывается на наличие зарядов на поверхности конденсированной окиси магния [3], обнаружен собственныйный электрический потенциал горящей частицы магния [6, 7]. И если химическая природа ионизации в углеводородных пламенах общепризнана и механизм ее установлен, то вопросы образования зарядов в пламенах щелочно-земельных металлов, в частности магния, требуют детального изучения.

Настоящая работа посвящена исследованию электронного компонента пламени магния при пониженных давлениях в окислительной смеси  $\text{Ar} + \text{O}_2$ . По экспериментальным результатам проведена количественная оценка эффективного коэффициента электронообразования, представляю-

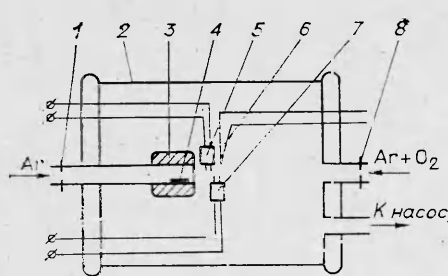


Рис. 1.

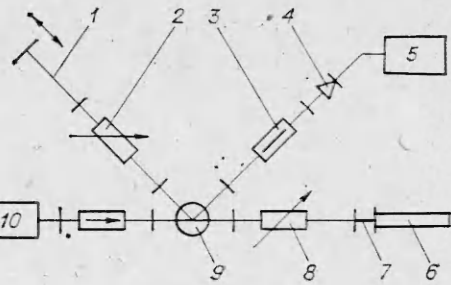


Рис. 2.

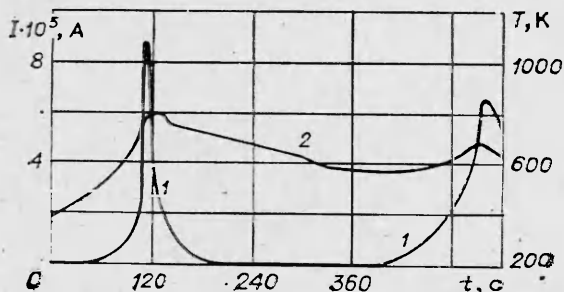


Рис. 3.

щего собой выход заряженных частиц (электронов) на один израсходованный атом магния.

Параметры электронного компонента пламени магния измеряли на экспериментальной установке, схематически представленной на рис. 1. Пламя формировалось в кварцевом реакторе 2 диаметром 0,2 и длиной 0,6 м, предварительно промытом аргоном и откачанном до остаточного давления  $\sim 10$  Па. Окислительную смесь Ar + O<sub>2</sub> готовили в смесителе в соотношении 1:1 и через расходную шайбу 8 подавали в реактор. Навеска магния 4 испарялась в трубчатой печи 3, и магний в паровой фазе потоком аргона, расход которого задавался шайбой 1, транспортировался в реактор. Полное давление в реакторе поддерживалось неизменным и составляло 650 Па, парциальное давление кислорода 130 Па. С началом испарения магния на срезе испарителя формировалось белое диффузное пламя эллипсоидальной формы. Его размеры можно регулировать расходом магния, окислителя и транспортирующего газа. Структуру пламени изучали методом осаждения компонентов па металлической пластине, помещенной в пламя. Непосредственно у среза испарителя конденсировался магний, что соответствует внутренней зоне пламени, где происходит диффузия горючего к зоне реакции, за пределами внутреннего эллипса осаждалась конденсированная окись магния.

Горение магния при указанных условиях является парофазным и диффузионным, т. е. свойства пламени определяются скоростью взаимной диффузии реагентов. Поверхность горения устанавливается там, где горючее и окислитель поступают в зону реагирования в стехиометрических соотношениях [8]. Таким образом, с изменением мощности источника паров магния  $\phi$  ( $s^{-1}$ ), например по мере разогрева образца, при постоянной концентрации кислорода в реакторе зона реакции будет перемещаться в пространстве. Перемещение зоны реакции значительно упрощает методику измерения профилей концентрации электронов  $n_e(x)$  и температуры среды  $T_e(x)$  по зоне реакции.

Концентрацию и температуру электронов  $T_e$  измеряли зондовыми методами, путем снятия вольт-амперных характеристик и по току насыщения двойных зондов, помещенных в пламя. Зонды 7 (см. рис. 1) из-

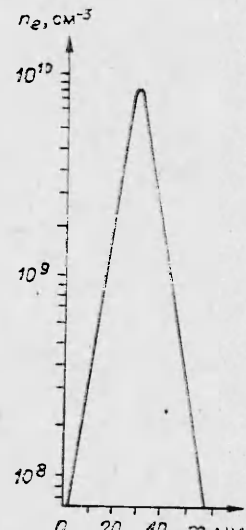


Рис. 4.

готовлены из никромовой проволоки диаметром 0,3 и длиной 5 мм. Из-за конденсации на поверхности зондов окиси магния для уменьшения искажения вольт-амперных характеристик зонды вводили в пламя только на время измерений, которое составляло  $\sim 2$  с. Обработку вольт-амперных характеристик проводили по известным методикам [9]. Профили концентрации электронов по оси пламени определяли по току насыщения в цепи двойных зондов, неподвижно помещенных на расстоянии 15 мм от среза испарителя, а зона реакции по мере разогрева образца с определенной скоростью перемещалась в пространстве. Скорость перемещения зоны реакции (зоны ионизации) определяли по временной разнице появления пиков токов насыщения в цепях зондов 7 и 5 и составила  $\sim 1$  мм/с. Температура среды определялась W — Re термопарой 6.

Одно из основных приближений используемых зондовых методик — отсутствие процессов образования заряженных частиц и их столкновений в приэлектродном слое. В условиях исследуемого пламени при давлениях порядка 200—1000 Па столкновения электронов и ионов в приэлектродном слое могут изменять поток заряженных частиц на поверхность зонда. Кроме того, возможно образование заряженных частиц в процессе химического реагирования в приэлектродном слое, поэтому результаты зондовых измерений необходимо дублировать другими методами диагностики, в частности методами, основанными на взаимодействии сверхвысокочастотного электромагнитного излучения с заряженными частицами (СВЧ-методы). В [10, 11] для измерения параметров плазмы ударных волн использовались СВЧ-интерферометры Маха — Цандера с двухпроводниковой линией Лехера в измерительном плече, при этом пространственное разрешение интерферометра составляло  $\sim 0,1 \lambda$  [11], где  $\lambda$  — длина волны электромагнитного излучения. Для определения концентрации электронов в пламени магния использовался 35-миллиметровый интерферометр, представляющий собой волноводный вариант интерферометра Майкельсона (рис. 2).

В качестве генератора СВЧ-сигнала 10 использовали отражательный клистрон К-27 мощностью 5 Вт. Делителем СВЧ-излучения служило гибридное кольцо с развязкой между плечами на частоте 8,5 ГГц не хуже 18 дБ. В опорном плече интерферометра включены аттенюатор 2 и подвижный короткозамыкающий поршень 1, с помощью которого измеряли набег фазы волны, прошедшей через пламя в измерительном плече (аттенюатор 8, волноводно-двухпроводный переход 7, двухпроводная короткозамкнутая линия Лехера 6). Интерференционный сигнал регистрировался в смесительном плече гибридного кольца (ферритовый вентиль 3, детекторная секция 4). Сигнал с кристаллического детектора измерялся самопишущим потенциометром «Endim» 5. Волноводно-двухпроводный переход для уменьшения рассеяния излучения помещен в радиопоглощающий экран, изготовленный из карбонильного железа. Двухпроводная линия Лехера изготовлена из никромовой проволоки диаметром 0,3 мм, расстояние между проводниками 5 мм. Пространственное разрешение линии, оцененное методом пробника [11], составило 5 мм.

В ходе экспериментов по измерению концентрации электронов в пламени магния на проводниках линии осаждается конденсированная окись магния, которая дает дополнительный сдвиг фазы, сравнимый с набегом фазы, обусловленным электронным компонентом пламени. Изменение фазы, обусловленное конденсацией окиси магния, измеряли при гашении пламени и вычитали из суммарного набега фазы.

Связь между фазовым сдвигом и концентрацией электронов, усредненной по пути распространения электромагнитного излучения (по оси линии), дается [12] следующим равенством:

$$\Delta\varphi = -\pi C_e \frac{l}{\lambda} \frac{\bar{n}}{n_c},$$

где  $l$  — длина пути электромагнитной волны, на котором происходит взаимодействие поля с пламенем;  $\lambda$  — длина волны используемого

радиоизлучения;  $\bar{n}$  — концентрация электронов, усредненная по пути распространения поля;  $n_c = \frac{m\omega^2}{4\pi e^2}$  — критическая концентрация электронов для используемого зондирующего излучения с частотой  $\omega$ ;  $m$  — концентрация паров магния;  $C_e$  — коэффициент формы, зависящий от функции распределения плотности электронов по пути распространения волны. Согласно [12], для  $\bar{n} < 0,2$   $n_c C_e = 1$ . Полученные с помощью линии Лехера значения концентрации электронов достаточно хорошо согласуются с результатами зондовых измерений.

Концентрация и температуры электронов, полученные в серии экспериментов, лежали в диапазонах  $10^{14}—10^{16} \text{ м}^{-3}$  и  $0,2—1,4 \text{ эВ}$ ; термопарные измерения дали значения температуры среды  $700—950 \text{ К}$ .

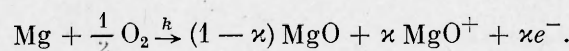
На рис. 3 приведены типичные зависимости токов насыщения (кривая 1) и температуры среды  $T_s$  (2) во времени. Видно, что максимумы тока насыщения в цепи зондов и ЭДС термопары совпадают и, по-видимому, согласно [3], соответствуют зоне реакции. Первые максимумы кривых соответствуют прямому ходу пламени, т. е. его развитию, вторые — обратному движению пламени при выгорании магния. Различие в амплитудах токов насыщения объясняется конденсацией на зондах окисла, а увеличение ширины пика тока насыщения обратного хода — меньшей скоростью перемещения пламени ( $0,2 \text{ мм/с}$ ). Зона ионизации, определенная по полуширине пика зондового тока насыщения, составила  $14 \text{ мм}$ .

По ионному току насыщения получен профиль концентрации электронов по зоне реакции, приведенный на рис. 4. При пересчете принималось, что основными ионами в пламени являются  $\text{MgO}^+$  и температура электронов составляет  $1 \text{ эВ}$ .

По профилю плотности электронов проведена оценка константы скорости окисления магния  $k$  и эффективного коэффициента образования электронов  $\alpha$ , т. е. выход электронов на один прореагировавший атом магния. При этом сделаны следующие предположения:

- электроны появляются в результате прямого или вторичных процессов окисления атома магния;
- поскольку температура среды в пределах зоны ионизации меняется незначительно (см. рис. 4), то  $k$  и  $\alpha$  принимаются постоянными по зоне реакции;
- процесс горения считается стационарным, т. е. реагенты на границах зоны реакции находятся в стехиометрических соотношениях, профили реагентов, конечных и промежуточных продуктов реакции ( $\text{MgO}$ ,  $\text{O}$ ,  $\bar{e}$ ,  $\text{MgO}^+$ ,  $\text{Mg}^*$  и т. д.) не изменяются во времени.

Для реакции окисления магния суммарное уравнение реакции запишем в следующем виде:



Зону реакции представляем плоским слоем и решаем одномерную задачу, что вполне приемлемо, так как ширина зоны реакции значительно меньше радиуса кривизны поверхности зоны реакции. Запишем уравнения материального баланса для кислорода и магния

$$D_m \nabla^2 m(x) - km(x)n(x) = 0, \quad (1)$$

$$D_n \nabla n(x) + km(x)n(x) = 0, \quad (2)$$

где  $D_m$  и  $D_n$  — коэффициенты диффузии магния и кислорода соответственно;  $m(x)$  и  $n(x)$  — профили концентраций паров магния и кислорода.

Если пренебречь скоростями диффузии электронов и прилипания их к компонентам смеси, то аналогичное уравнение для электронного компонента примет вид

$$k\alpha m(x)n(x) - \alpha n_e^2(x) = 0, \quad (3)$$

где  $\alpha$  — коэффициент рекомбинации;  $n_e(x)$  — профиль плотности электронов по зоне реакции.

Решая систему (1)–(3) вблизи внешней границы зоны реакции, где концентрация окислителя известна ( $n(x) \approx n_0 = \text{const}$ ), определим  $k$ . К уравнениям (1)–(3) добавим однократно и дважды продифференцированное уравнение (3)

$$k\kappa [m'(x)n(x) + n'(x)m(x)] - 2\alpha n_e(x)n'_e(x) = 0, \quad (4)$$

$$\begin{aligned} k\kappa [m''(x)n(x) + 2m'(x)n'(x) + n''(x)m(x)] - 2\alpha [n_e(x)n''_e(x) + \\ + (n'_e(x))^2] = 0, \end{aligned} \quad (5)$$

где  $n'(x) = \frac{dn}{dx}$ ;  $n''(x) = \frac{d^2n}{dx^2}$ . Уравнение (4) на внешней границе зоны реакции запишется в виде

$$k\kappa m'(x)n_0 = 2\alpha n_e(x)n'_e(x). \quad (6)$$

Решение (1) для полу бесконечного случая с условием  $n(x) \approx n_0 = \text{const}$ :

$$m(x) = m_0 \exp(-ax), \quad (7)$$

где  $a = \sqrt{k n_0 / D_m}$ .

Запишем уравнение (6) в относительных концентрациях, т. е.  $X_i = \frac{n_i}{\sum_i n_i}$ , подставим (7) и (6) и, учитывая, что на внешней границе зоны реакции  $n'_e(x) < 0$ , после операций логарифмирования и дифференцирования, получим

$$k = \frac{D}{n_0} \left[ X'_e(x) \frac{1}{X_e(x)} + X''_e(x) \frac{1}{X'_e(x)} \right]^2. \quad (8)$$

Экспериментально измеренный профиль плотности электронов на внешней границе зоны реакции можно представить в виде  $n_e(x) = n_{e0} \exp(-bx)$ , тогда из (8)

$$k = 4D/n_0 \cdot b^2. \quad (9)$$

Оценка коэффициента скорости реакции окисления магния в кислороде  $k$  при  $D \approx 10^2 \text{ см}^2/\text{с}$  [4],  $n_0 \approx 4 \cdot 10^{22} \text{ м}^{-3}$ ,  $b \approx 2,3$  дает  $k = 5 \cdot 10^{-20} \text{ м}^3/\text{с}$ .

Согласно [4, 5], коэффициент скорости реакции окисления магния, определенный из профиля температуры по оси пламени, представлен в аррениусовой форме

$$k = 2 \cdot 10^8 \exp\left(-\frac{16800}{RT}\right) \text{ м}^3/(\text{моль} \cdot \text{с}). \quad (10)$$

В условиях эксперимента температура среды в пределах зоны ионизации лежит в интервале 800–850 К; из (10) для этих значений температуры  $k \approx 2 \cdot 10^{-20} \div 9 \cdot 10^{-21} \text{ м}^3/\text{с}$ .

Для определения  $\kappa$  рассмотрим систему (1)–(5) в точке  $x_0$ , где профиль плотности электронов имеет максимум, т. е.  $n'_e(x_0) = 0$ . Согласно [13], максимальное значение ионизационного тока насыщения наблюдается вблизи стехиометрического соотношения реагентов, т. е. в точке  $x_0$   $m \approx n$ , тогда из (4)

$$m'(x_0) = -n'(x_0). \quad (11)$$

Суммируя уравнения (1) и (2) в предложении равенства коэффициентов взаимной диффузии реагентов, т. е.  $D_m \approx D_n$ , имеем

$$\nabla^2[m(x) + n(x)] = 0. \quad (12)$$

Запишем уравнение (5) в точке  $x_0$  с учетом (11) и (12)

$$k\kappa [m'(x)]^2 = \alpha n_{e0} n''_e(x) \quad (13)$$

или

$$\kappa = -\frac{\alpha n_{e_0} n_e''(x)}{k [m'(x_0)]^2}. \quad (14)$$

Для оценки  $\kappa$  экстраполируем зависимость (7) до точки  $x_0$ , а распределение  $n_e(x)$  в окрестности точки  $x_0$  представим функцией

$$n_e(x) = n_{e_0} \sin\left(\frac{x}{l} \pi\right) \quad (15)$$

так, чтобы при  $x=0$  и  $x=l$   $n_e=0$  и при  $x=l/2$   $n_e=n_{e_0}$ . Так как стехиометрическое соотношение в данном случае равно единице, то очевидно  $x_0=l/2$ , где  $l$  — ширина зоны реакции. Тогда из (14), принимая, что рекомбинация носит диссоциативный характер ( $\alpha=10^{-13} \text{ м}^3/\text{с}$ ),  $\kappa=-2 \cdot 10^{-6}$ . Определение механизма и коэффициента скорости элементарного процесса ионизации из указанных методик эксперимента и анализа результатов не представляется возможным вследствие отсутствия детальных представлений о процессах образования электронов.

Для идентификации возможных механизмов образования электронов проведены оценочные расчеты концентраций электронов в условиях эксперимента для процессов равновесной ионизации и термоэмиссии электронов с поверхности конденсированной окиси магния.

Расчет концентрации электронов по формуле Саха (для случая равновесной ионизации), проведенный для атомов магния в основном состоянии с потенциалом ионизации  $I=7,64$  эВ, для  ${}^3P$ -состояния магния с энергией возбуждения 2,71 эВ и временем жизни  $\sim 4 \cdot 10^{-3}$  с и для молекулы  $MgO(B^1\Sigma^+)$  с энергией возбуждения 2,48 эВ и временем жизни  $\sim 1 \cdot 10^{-7}$  с, показал, что в условиях эксперимента ( $T=1000$  К,  $p=200 \div 600$  Па) равновесная ионизация паров Mg и MgO и их возбужденных состояний не может обеспечить зафиксированные в эксперименте значения электронной плотности.

Концентрацию электронов, эмиттированных с горячих частиц конденсированной окиси магния, рассчитывали по [8]. Электронно-микроскопический анализ продуктов горения показал, что конденсированная фаза представляет собой частицы со средним размером  $\sim 7 \cdot 10^{-3}$  м. Работа выхода электрона с поверхности кристаллической окиси магния составляет 3,5 эВ. Концентрация электронов для приведенных параметров и условий эксперимента имеет величину  $\sim 6 \cdot 10^{12} \text{ м}^{-3}$ .

Таким образом, установлено, что при давлении 400—800 Па в пламени магния в кислороде присутствует электронный компонент с концентрацией  $10^{14} \div 10^{16} \text{ м}^{-3}$  и температурой электронов 0,2—1,4 эВ, эффективный выход электронов составляет  $10^{-6}$  с атома магния. Анализ возможных механизмов ионизации показал, что процессами, ответственными за появление электронов в пламени магния, могут быть термоэмиссия электронов с поверхности конденсированной окиси магния и ионизация в ходе химической реакции окисления метастабильных состояний магния  ${}^3P$  с атомарным кислородом.

Поступила в редакцию 2/VIII 1983,  
после доработки — 1/XI 1983

#### ЛИТЕРАТУРА

1. Т. Бржустовский, И. Глассмен.— В кн.: Гетерогенное горение. М.: Мир, 1967.
2. М. Е. Деревяга, Л. Н. Стесик, Э. А. Федорин. ФГВ, 1977, 13, 6, 852.
3. А. В. Флорко, Л. Н. Золотко, Н. В. Каминская и др. ФГВ, 1982, 18, 1, 17.
4. О. Е. Каширенинов, В. А. Кузнецов, Г. Б. Манелис. ЖФХ, 1975, 49, 4, 888.
5. О. Е. Каширенинов, В. А. Кузнецов.— В кн.: Горение и взрыв. М.: Наука, 1977.
6. Г. С. Драган, А. А. Мальгота, Ю. В. Соколов и др. IV Всесоюз. семинар по электрофизике горения. Караганда, 1981.
7. А. В. Флорко, С. В. Козицкий, В. В. Головко и др. Там же.
8. Д. Лаутон, Ф. Вайнберг. Электрические аспекты горения. М.: Энергия, 1976.
9. О. В. Козлов. Электрический зонд в плазме. М.: Атомиздат, 1969.

10. А. И. Чеунг, Д. В. Купмен. Приборы для научных исследований, 1972, 10, 41.
11. Д. Г. Заварин, В. В. Рождественский, Г. К. Тумакаев.— В кн.: Диагностика низкотемпературной плазмы. М.: Наука, 1979.
12. В. Е. Голант. Сверхвысокочастотные методы исследования плазмы. М.: Наука, 1968.
13. Г. С. Аравии, Е. С. Семенов. ФГВ, 1979, 15, 5, 40.

## ОПРЕДЕЛЕНИЕ НОРМАЛЬНОЙ СКОРОСТИ ПЛАМЕНИ И КРИТИЧЕСКИХ УСЛОВИЙ ЕГО ГАШЕНИЯ В СМЕСЯХ УГЛЕВОДОРОДОВ С ХЛОРОМ

*A. B. Стеблев*

*(Москва)*

До настоящего времени вопросы распространения и гашения пламени в смесях углеводородов с хлором изучены крайне недостаточно, что препятствует разработке рациональных систем локализации и подавления взрыва в хлороганических производствах.

В данной работе приведены результаты определения нормальных скоростей пламени  $u_n$  и исследования критических условий его гашения в бинарных смесях пропана, этилена, хлористого этила и дихлорэтана с хлором при температуре 293 К и давлении  $10^5$  Н/м<sup>2</sup> (смеси с дихлорэтаном подогревались до 353 К). Величину  $u_n$  измеряли по методу полной поверхности внутреннего светящегося конуса пламени прямым фотографированием. Опыты проводили на бунзеновских горелках диаметром 5,5–12 мм, помещенных в бокс с окнами для фотографирования. Исходные компоненты дозировали реометрами, погрешность дозировки не превышала 5 %. Расход смесей изменяли в диапазоне от 13 до 30 см<sup>3</sup>/с. С целью устранения влияния атмосферного воздуха горелку экранировали дозированным потоком азота (до 5-кратного по отношению к расходу исследуемой смеси). Для предотвращения предпламенного взаимодействия этилена с хлором внутреннюю поверхность горелки пассивировали парафином.

Результаты измерения  $u_n$  представлены на рисунке ( $\pi$  — мольная доля горючего в смеси с хлором). Смеси пропана во всем диапазоне составов горят гораздо быстрее смесей этилена, максимальные значения  $u_n^{\max} = 21$  и 10 см/с соответственно. Это более чем на порядок ниже величин  $u_n$  для аналогичных смесей с кислородом в качестве окислителя [1]. Следует отметить, что при изменении соотношений компонентов в составах этилена с хлором скорость пламени меняется незначительно, ее минимальное значение  $u_n^{\min} = 5$  см/с ( $\pi = 9\%$ ). Замещение одного атома водорода хлором в молекуле алкана существенным образом влияет на  $u_n$ . Так, если в смесях этана с хлором  $u_n^{\max} = 35$  см/с [2], то скорость горения хлористого этила с хлором не превышает 4,5 см/с. Эффект введения в молекулу алкана двух атомов хлора еще более значителен: в смесях  $C_2H_4Cl + Cl_2$  устойчивое стационарное горение отсутствует при любых соотношениях компонентов.

Критические условия гашения пламени изучали в стеклянных трубках с внутренним диаметром  $d = 4 \div 20$  мм. В смесях заданного состава инициировали горение, устанавливали стационарное пламя над выходным отверстием трубы, а затем поток газа останавливали и следили за проскоком или гашением пламени.

